

Radioaktyviøjø atliekø heterogeniðkumo átakos radionuklidø sklaidai ið pavirðinio kapinyno gruntuais vandenimis analizë

1. Tyrimø metodologija ir rezultatai homogeninio atliekø pasiskirstymo atveju

Raimondas Kilda,

Povilas Poškas,

Valdas Ragaičis

Lietuvos energetikos institutas,
Branduolinės inžinerijos
problemø laboratorija,
Breslaujos g. 3, LT-44403 Kaunas

Atliekant radioaktyviøjø atliekø kapinynø saugos analizę, dažnai yra laikomasi prielaidos, kad atliekø aktyvumas kapinyno rūsiuose yra tolygiai pasiskirstas. Taèiau neretai pasitaiko ir tokio radioaktyviøjø atliekø, pa-vydzþiu, panaudoti uþdarieji jonizuojanèios spinduliuotës þaltiniai, kurie atliekose sudaro vadinamusius „karþtuosius taðkus“. Tokiais atvejais atliekø aktyvumas kapinyne bûna pasiskirstas netolygiai, t. y. atliekos yra heterogeninës.

Pateiktame darbe iðanalizuota heterogeninio atliekø aktyvumo pasiskirstymo átaka radionuklidø sklaidai ið pavirðinio kapinyno á gruntuais vandenis ir parodyta, kokiomis sâlygomis gali bûti taikoma homogeninio atliekø aktyvumo pasiskirstymo prielaida. Vertinimai buvo atlikti, taikant ISAM metodologiją, kurià TATENA (Tarptautinë atominës energijos agentûra) rekomenduoja pavirðiniø kapinynø saugos analizei.

Straipsnyje yra pateiktas trumpas radioaktyviøjø atliekø laidojimo sistemos apraðymas, radionuklidø sklaidos scenarijai bei sudaryti konceptualûs modeliai. Skaièiavimai atlikti radionuklidø sklaidos modeliavimo programomis DUST ir GWSCREEN. Ðime, pirmajame, serijos straipsnyje yra pateiktas glaustas ISAM metodologijos apraðymas, jos taikymas atliekø heterogeniðkumo analizei bei radionuklidø sklaidos modeliavimo rezultatai homogeninio atliekø aktyvumo pasiskirstymo kapinyne atveju.

Raktapodþiai: pavirðinis kapinynas, radioaktyviosios atliekos, homogeninis pasiskirstymas, heterogeninis pasiskirstymas, ISAM metodologija, radio-nuklidø sklaida

1. ÁVADAS

Nuo 2002 m. TATENA vykdo koordinuotà tyrimø projektà ASAM (Application of Safety Assessment Methodologies for Near Surface Radioactive Waste Disposal Facilities), kuris pratesia ir papildo šios organizacijos anksèiau atliktà ISAM (Improvement of Safety Assessment Methodologies for Near Surface Radioactive Waste Disposal Facilities) studijà [1, 2]. ASAM projekte ypaè pabrëþiamas ISAM metodologijos, kaip nuoseklaus ir suderinto pavirðiniø kapinynø saugos vertinimo proceso, taikymas sprendþiant konkreeias praktines problemas. Svarbiausi ASAM programos tikslai yra:

- ISAM metodologijos praktinio taikymo iðtyrimas, kai yra rengiamos kapinynø, skirtø ávairiø tipø radioaktyviosioms atliekoms laidoti, konstrukcinës

koncepcijos, arba kai pakartotinai atliekamas jau árengtø kapinynø saugos ávertinimas, arba yra numatytais kapinynø atnaujinimas ir kt.;

- praktiniø pasiûlymo kontroliuojanèioms institucijoms, ekspluatuojanèioms organizacijoms ir kitiem specialistams, atliekantiems kapinynø saugos ávertinimø perþiûrâ, parengimas.

Vienas ASAM programos uþdaviniø, kuriuos sprendþiant dalyvavo ir Lietuvos energetikos instituto mokslinkai bei tyréjai, yra ISAM metodologijos pritaikymas pavirðinio kapinyno saugos analizei, kai tarp laidojamø atliekø yra ir smulkiøjø gamintojø (medicinos, tyrimo bei pramonës ámoniø) panaudoti uþdarieji jonizuojanèios spinduliuotës þaltiniai (toliau – uþdarieji þaltiniai).

Vertinant kapinynø saugà, dažnai yra taikoma prielaida, kad laidojamos atliekos yra homogeninës, t. y.

atliekose esančių radionuklidų aktyvumas yra tolygiai pasiskirstęs visame jø tûryje. Jei laidojami uþdarieji ðaltiniai, dël maþos jø fizinës apimties ir santykinai didelio aktyvumo tokia prielaida gali bûti neteisinga. Todël bûtina ávertinti atliekų homogeninio pasiskirstymo prielaidos tinkamumà ir jos áakà kapyno ilgalaikës saugos vertinimams.

Vertinant radioaktyviųjų atliekų áavairovà, galima iðskirti kelis bûdingus pavirðiniuose kapynnuose laidojamø atliekų heterogeniškumo atvejus:

- santykinai maþos apimties elementai, vadina-mieji „karðtieji taðkai“ (bûdinga panaudotiems uþda-riesiams ðaltingiam);
- atskiri didelës apimties elementai atliekų pa-kuotëse (pvz., uþterðtos metalinës detalës);
- labai dideli atliekų komponentai, kurie yra laidojamø tiesiog kapyno rûsiuose (pvz., radioaktyvûs áengimai).

Straipsnyje pateikta heterogeniškumo áakos vertini-mo metodologija, apimanti analizës uþdavinio formula-vimà, analizuojamas atliekų laidojimo sistemos apibû-dinimà bei konceptualio radionuklidų skaidos modelio sudarymà. Taip pat pateiki radionuklidų skaidos ið pa-virðinio kapyno vandeniu analizës rezultatai, esant to-lygiams radioaktyviųjų atliekų aktyvumo pasiskirstymui. Radionuklidų skaidos analizë netolygaus atliekų akty-vumo pasiskirstymo atveju ir heterogeniškumo áakos ávertinimas bus pateikti kitame ðios serijos straipsnyje.

2. HETEROGENIŠKUMO ÁAKOS VERTINIMO METODOLOGIJA

Radioaktyviųjų atliekų he-terogeniškumo, sàlygoto su kitomis atliekomis kartu lai-dojamø panaudotø uþdar-ojo ðaltingio, áaka radionuklidų skaidai ið pavirðinio kapyno buvo iðanalizuota, taikant ISAM metodologi-jà [1]. Pagrindiniai analizës etapai (1 pav.) yra ðie:

1. *Uþdavinio formulavimas*: apibrëþiami analizës uþdavinio tikslai, siekiami rezultatai, vertinimo kon-cepceja ir bûdingi analizës laikotarpiai;

2. *Radioaktyviųjų atlie-kų laidojimo sistemos apibû-dinimas*: apibûdinama analizuojama sistema, apimanti radioaktyviàsias atliekas, inþinerinius barje-rus, radionuklidų skaidos kelius geosferoje ir biosfe-roje, nurodant ðiemis ke-liams bûdingas savybes;

3. *Radionuklidų skaidos scenarijø sudarymas*: atliekama procesø, vykstanèiø kapyno aplinkoje, ka-pynye ir já supanèioje geosferoje, analizë ir, ávertinu-s atskirø komponentø tarpusavio sàveikà, sudaro-mi scenarijai ir konceptualùs modeliai;

4. *Matematiniø modelio sudarymas*: sudaryti kon-ceptualùs modeliai iðreiðkiami matematinëmis priklau-somybëmis, apibrëþiamos pradinës ir ribinës sàlygos;

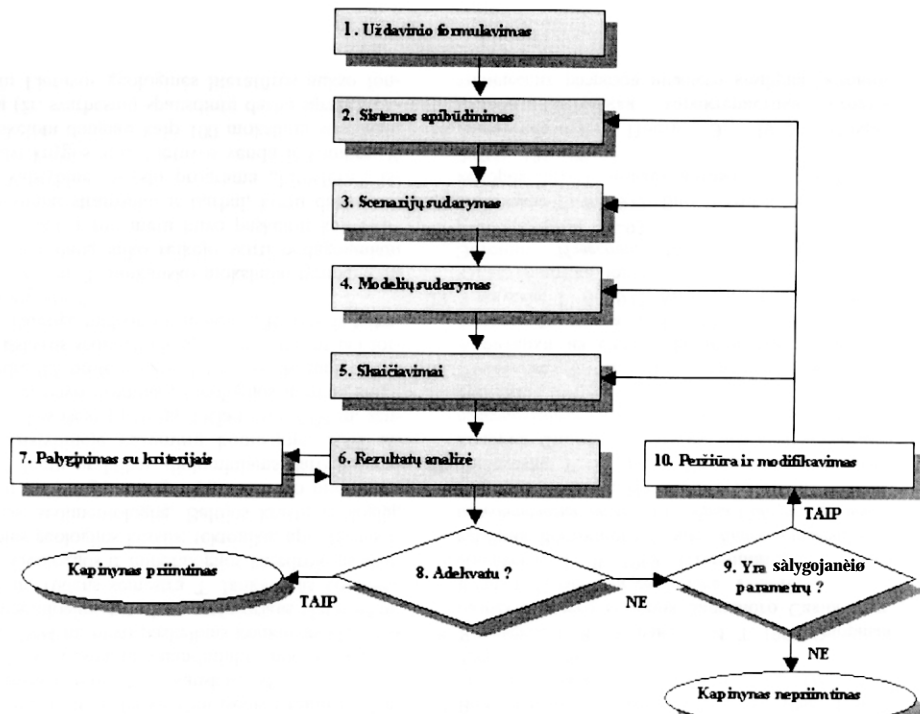
5. *Skaièiavimai*: taikant analitinius/skaitinius me-todus, atliekami skaièiavimai;

6. *Rezultatø analizë*: analizuojami ir interpretuoja-mi atliktø skaièiavimø rezultatai.

2.1. Uþdavinio formulavimas

Pagrindinis analizës tikslas – iðtirti ir ávertinti netolygaus radionuklidų aktyvumo pasiskirstymo atlieko-se áakà, vertinant radionuklidų skaidà ið kapyno rûsio.

Pinoma, kad þmogaus apþvitos dozës yra tiesio-giai proporcings radionuklidų aktyvumui, o proporc-ingumo koeficientas priklauso nuo analizuojamos konkreèios vietovës savybiø bei joje gyvenanèiø þmo-niø gyvensenos ypatybiø. Be to, apþvitos doziø skai-èiavimai priklauso nuo vertinamø apþvitos trasø bei sudaromø radionuklidų skaidos biosferoje modelio. Todël, siekiant iðvengti konkreèios biosferos modelio parametrø neapibrëþtumø heterogeniškumo áakos analizëje, buvo apsiribota radionuklidø maksimaliø tû-riniø aktyvumø vertinimu. Radionuklidø aktyvumai buvo vertinami bûdingose analizuojamas sistemos vietose: po kapyno rûsio dugnu, aeracijos zonas apa-èioje ir vandeningame horizonte áairiuose atstumuose



1 pav. ISAM metodologijos schema. Tamsesne spalva paþymëti ðiame darbe atliekami radionuklidų skaidos ávertinimo etapai

nuo kapyno rūsio. Tokiu būdu buvo ávertintas kiek-vienos sistemos dalies vaidmuo heterogeniðkumo áta-kos sumaþejimui.

Heterogeniðkumo átaka buvo analizuojama, atsi-þvelgiant á radionuklidø puséjimo trukmæ ir aplinkos parametrus, turinèius átakà radionuklidø sklaidai, -dispersijà, vélino koeficientà ir kt. Analizei buvo pasirinkti radionuklidai ið keliø bûdingø grupiø, be-siskiranèiø fizinëmis (puséjimo trukme) bei sklaidos savybëmis (vélino faktoriø/sorcijos koeficientø reikðmëmis), bûtent:

- 1) trumpaamþiai, mobilùs;
- 2) trumpaamþiai, maþai mobilùs;
- 3) ilgaamþiai, mobilùs;
- 4) ilgaamþiai, maþai mobilùs.

Abiem, homogeninio ir heterogeninio, atliekø aktyvumo pasiskirstymo kapyno rûsyje atvejas radio-nuklidø sklaida vertinama esant toms paèioms sàly-goms, t. y. esant tam paèiam pradiniam radionuklidø aktyvumui rûsyje ir tiems patiemis radionuklidø ið-plovimo ir sklaidos parametramis.

Radionuklidø aktyvumas tam tikroje nagrinëjamoje sistemos vietoje kinta laike. Analizuojami atliekø aktyvumo kitimo laikotarpiai yra skirtini kiek-vienai nuklidø grupei ir buvo parinkti tokios truk-mës, iki kol atskiro radionuklido aktyvumas stebi-moje laidojimo sistemos vietoje pasiekia savo mak-simalià reikðmæ.

ASAM programe dalyvauja tyrëjø grupës ið ávai-riø ðaliø (Brazilijos, JAV, Lietuvos, Rusijos, Slovaki-jos). Vertinimams buvo pasirinktas Saratovo (Rusija) RADON tipo pavirðinis kapynas (þr. apraðymà, pa-teiktà [2] dokumente), ðitaip sudarant galimybæ paly-ginti ávairiø grupiø gautus rezultatus.

2.2. Laidojimo sistemos apibûdinimas

Atliekø laidojimo sistema, vertinant radionuklidø sklaidà, yra iðskaidoma á tris zonas:

- 1) atliekø zonà, kuri apima radioaktyviàsias atlie-kas ir jas supanèius inþinerinius barjerus;
- 2) aeracijos zonà (vandeniu neprisotintà zonà);
- 3) vandeningàjá horizontà (vandeniu prisotintà zonà).

Radioaktyviosios atliekos Saratovo RADON tipo kapynye yra palaidotos keturiuose rûsiuose, keliose tranðejose bei vienoje græphinio tipo saugykloje. Ana-lizei buvo parinktas vienas rûsiø, kurio tipinë sche-ma parodyta 2 paveiksle.

Rûsio inþinerinius barjerus sudaro:

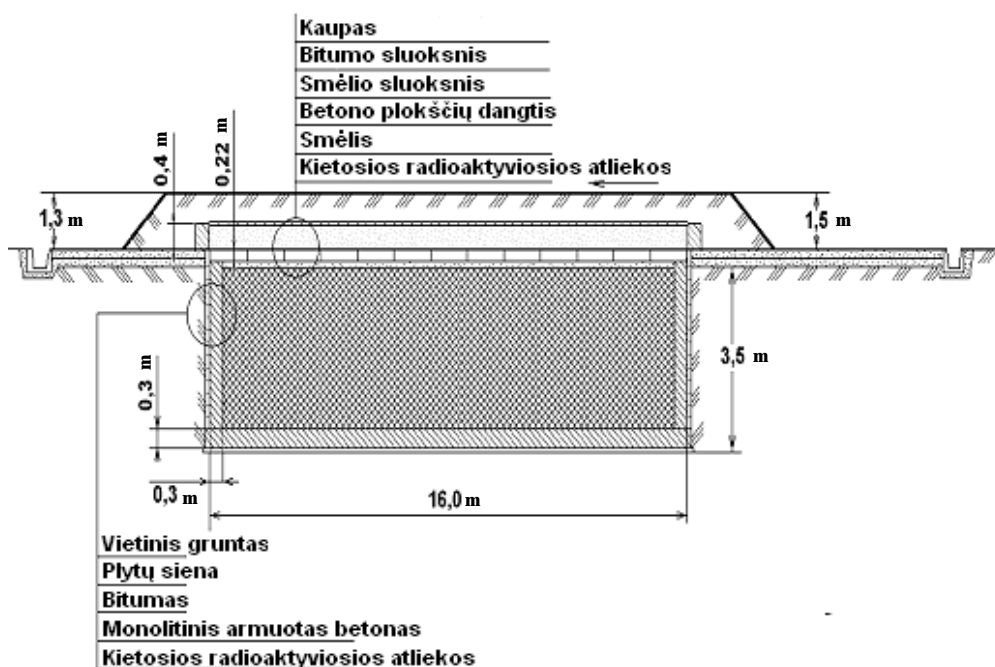
- atliekø pakuoþës;
- cementinës uþpildas;
- betoninës sienos ir pagrindas;
- bitumo ar asfalto sluoksnis;
- plytø sienos, apsauganèios betoniná pavirðio nuo mechaninio poveikio;
- betono plokþtës (kartu su bitumo ar asfalto sluoksniu), dengianèios rûsá;
- rûsio apdangalas (kaupas).

Rûsyje, 0,3–3 m gylyje, yra palaidota apie 200 m³ kietøjø radioaktyviøjø atliekø, kuriø dalá sudaro pa-naudoti uþdarieji ðaltiniai. Nagrinëjamo rûsio atstu-mas iki kapyno aikðtelës tvoros – apie 70 metrø.

Ið daugiau kaip 30 radionuklidø, esanèiø Sarato-vo kapynye palaidotose atliekose, tyrinëjimui buvo parinkti ðie: ³H (trumpaamþis, mobilus), ¹²⁹I ir ¹⁴C (ilgaamþiai, mobilùs) bei ²³⁹Pu ir ²²⁶Ra (ilgaamþiai, maþai mobilùs). Radionuklidai, priklausantys trum-paamþiø ir maþai mobilø radionuklidø grupei (pvz., ¹³⁷Cs), nebuko analizuojami, nes, pagal preliminarius vertinimus, jie suskyla iki nereikðmingø dydþio dar

nepasiekæ aeracijos zonos. Analizuojamo radionuklidø sà-raðas, jø pradiniai aktyvumai bei fizinës/cheminës savy-bës yra pateiktos 1 lentelëje.

Kapyno rûsio inþineriniø barjerø, vertintø analizëje, charakteristikø su-vestinë yra pateikta 2 lentelëje. Disper-sijos koeficiente reikðmë rûsio zono-je yra priimta lygi 1/ 10 sklaidos atstumo iki receptoriaus (rûsio apaèios) srauto kryptimi. Kadangi difuzija, paprastai, tèra nedidelë radio-



2 pav. RADON tipo pavirðinio kapyno rûsio struktûra

1 lentelë. Analizuojamø radionuklidø pradiniai aktyvumai ir fizinës/cheminës savybës

Grupė	Radionuklidas	Pusëjimo trukmë metais	Pasiskirstymo koeficientas K_d^* (cm ³ /g)	Aktyvumas (MBq)
Trumpaamþiai, <i>mobilūs</i>	³ H	$1,23 \times 10^1$	0	916 023
Ilgaamþiai, <i>mobilūs</i>	¹²⁹ I	$1,59 \times 10^7$	1	3 726
	¹⁴ C	$5,73 \times 10^3$	5	74
Ilgaamþiai, <i>maþai mobilūs</i>	²³⁹ Pu	$2,41 \times 10^4$	550	209 370
	²²⁶ Ra	$1,60 \times 10^3$	500	56 120

* Pasiskirstymo koeficientai parinkti smëliui, kuris yra bûdingas Saratovo aplinkai.

2 lentelë. Kapyno rûsio inþineriniø barjerø parametrai

Inþinerinis barjeras	Storis (m)	Tankis (kg/m ³)	Tûrinë drëgmë	Efektinës difuzijos koeficientas (m ² /s)	Dispersijos koeficientas (m)
Smëlis (kaupas)	1,3	1 500	0,20		
Betoninis dangtis	0,3	2 200	0,15		
Smëlis	0,3	1 500	0,20	1×10^{-10}	0,3
Radioaktyviosios atliekos	2,7	1 200	0,05		
Betoninis dugnas	0,3	2 200	0,15		

3 lentelë. Aeracijos zonas parametrai

Storis (m)	Tankis (kg/m ³)	Tûrinë drëgmë	Efektinës difuzijos koeficientas (m ² /s)	Dispersijos koeficientas (m)
70	1 900	0,05	1×10^{-10}	7

4 lentelë. Vandeningo horizonto parametrai

Storis (m)	Tankis (kg/m ³)	Poringumas	Dispersijos koeficientas (m)	
			srauto kryptimi	skersine kryptimi
10	1 500	0,4	10	1

nuklidø perneðimo komponentë, difuzijos koeficientø reikðmës visiems radionuklidams yra priimtos vienos ir lygios 10^{-10} m²/s.

Po rûsiu esanti aeracijos zona, kuri ið tikrøjø yra geologijøkai sudëtinga zona, analizëje buvo priimta kaip vienalytis 70 m storio smëlio sluoksni.

Dispersijos aeracijos zonoje koeficiente reikðmë priimta lygi 1/10 aeracijos zonas storio vandens srauto kryptimi. Difuzijos koeficientø reikðmës visiems radionuklidams priimtos lygios 10^{-10} m²/s.

Aeracijos zonas parametru, panaudotø vertinimuose, reikðmës yra pateiktos 3 lentelëje.

Vandeningo horizonto storis Saratovo kapyno aikðtelëje yra 10 m. Dispersijos koeficiente vandens tekëjimo kryptimi reikðmë priimta lygi 10 m, skersine srautui kryptimi – 1 m. Vandeningo horizonto parametru, panaudotø vertinimuose, reikðmës yra pateiktos 4 lentelëje.

2.3. Radionuklidø sklaidos scenarijus

Atliekø heterogeniðkumo átakos analizei, kai radionuklidai sklinda vandeniu, buvo panaudotas ISAM

5 lentelë. Vandens srautas kapinyne

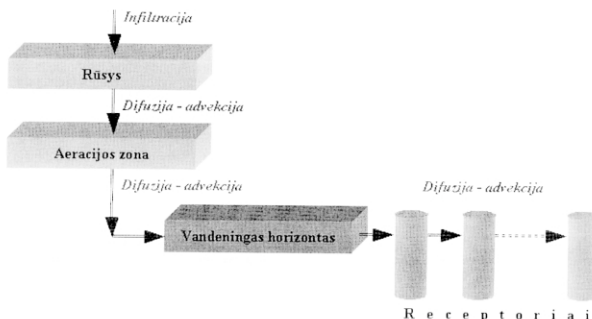
Zona	Vandens srautas (Darsi greitis) (m/metai)	
	pirmus 100 metø	po 100 metø
Rûsio zona	0,0035	0,35
Aeracijos zona	0,35	0,35
Vandeningas horizontas	2,92	2,92

metodologijos [1] rekomenduojamass inþineriniø barjerø degradavimo scenarijus. Priimta, kad pirmus 100 metø kapyno bûsena iðlieka nepakitusi ir rûsio inþineriniai barjerai visiðkai atlieka radioaktyviøjø atliekø izoliavimo nuo aplinkos funkcijà. Tuomet vandens infiltracija per kapynà sudaro 1% krituliø, kuriø kapyno aikðtelëje per metus iðkrinta iki 350 mm. Praëjus 100 metø, tariama, kad inþineriniai barjerai staiga ir visiðkai suyra, ir vandens infiltracija per kapynà pasiekia maksimaliø reikðmæ, lygià metiniam krituliø kiekiui. Vandens srauto reikðmës at-

skirose laidojimo sistemos zonose bei jo kitimas yra pateiktas 5 lentelėje.

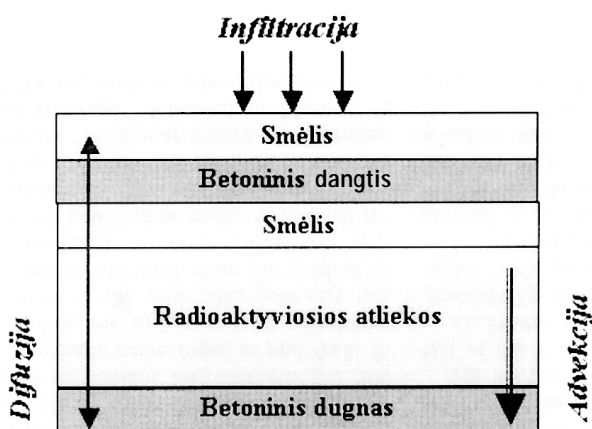
2.4. Konceptualūs modeliai

Konceptualus radionuklidų sklaidos modelis parodytas 3 paveiksle. Radionuklidai inžineriniai barjerais, aeracijos zona į vandeningą horizontą sklinda difuzijos bei advekciros būdu. Šiame darbe priimta, kad tik sorbcija riboja nuklidų sklaidą, o radionuklidų tirpumo savybės neturi jokios įtakos sklaidai. Radionuklidai iðkart iðtirpssta, t. y. neavertinama jø tirpumo riba. Taip pat yra vertinamas savaiminis radionuklidų skilimas.

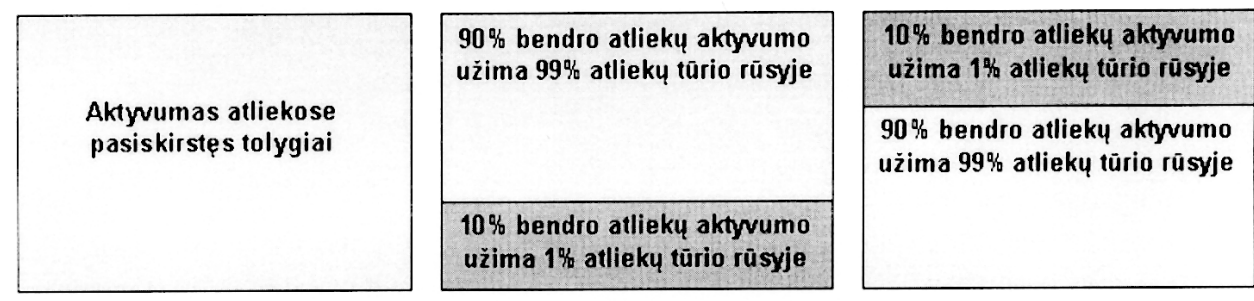


3 pav. Konceptualus radionuklidų sklaidos modelis

4 paveiksle parodytas konceptualus radionuklidų sklaidos inžineriniai barjerais modelis.



4 pav. Konceptualus radionuklidų sklaidos rūsio inžinerinių barjerais modelis



5 pav. Atliekų aktyvumo pasiskirstymo rūsyje atvejai: a) homogeninis; b) heterogeninis, kai didesnis aktyvumas rūsio apaèijoje; c) heterogeninis, kai didesnis aktyvumas rūsio virðuje

Kadangi laidojimo sistemos apraðyme [2] nëra iðsamios informacijos apie atliekø pakuotes, radio-nuklidø sklaida ið atliekø pakuoëiø ar konteineriø nebuvo modeliuojama. Priimta, kad pro kapyno kaupà infiltruotas vanduo tolygiai pasiskirsto rûsyje.

Heterogeniðkumo analizëje nagrinëti ðie radioaktyviøjø atliekø aktyvumo pasiskirstymo atvejai (5 pav.): a) homogeninis atliekø pasiskirstymas rûsyje (kaip bazinis atvejis palyginimams) bei du heterogeniðko atliekø pasiskirstymo rûsyje atvejai: b) kai 10% bendro atliekø aktyvumo yra patalpinta rûsio apaèijoje 1% atliekø tûrio ir c) kai 10% bendro atliekø aktyvumo yra patalpinta rûsio virðuje 1% atliekø tûrio. Abiem heterogeniðko atliekø aktyvumo pasiskirstymo rûsyje atvejais aktyvumo reikðmës atskirose rûsio srityse skiriasi apie 10 kartø, tuo tarpu bendras aktyvumas rûsyje iðlieka toks pat, kaip ir homogeniðko atliekø aktyvumo pasiskirstymo atveju.

3. SKAIÈIAVIMAI

Skaièiavimai buvo atlikti trims radioaktyviøjø atliekø aktyvumo pasiskirstymo rûsyje atvejams: homogeniniams, heterogeniniams, kai aktyvumas 10 kartø didesnis rûsio apaèijoje, ir heterogeniniams, kai aktyvumas 10 kartø didesnis rûsio virðuje.

Heterogeniðkumo átakos analizei buvo apskaièiuoti ir palyginti radionuklidø tûriniai aktyvumai stebëtose bûdingose analizuojamos sistemos vietose: po kapyno rûsio dugnu, aeracijos zonas apaèijoje ir vandeningame horizonte esanèiuose 70 (ties kapyno aikðtelës tvora), 100, 1000 ir 2000 m (maþiausias atstumas iki upës) atstumuose nuo rûsio.

Kiekvienu atveju visiems radionuklidams buvo apskaièiuoti šie dydþiai:

- maksimalios tûrinio aktyvumo reikðmës A_{max} ;
- laikas, kada radionuklido tûrinis aktyvumas nagrinëjamoje sistemos vietoje pasiekia maksimali reikðmæ t_{max} :
- maksimalio tûrinio aktyvumo reikðmiø santykiai heterogeninio ir homogeninio atliekø aktyvumo pasiskirstymo atvejais $A_{max,het}/A_{max,hom}$ (bus pateikta kitaime šios serijos straipsnyje);
- laikø, kai pasiekiamos maksimalios tûrinio aktyvumo reikðmës, santykiai heterogeninio ir homogeninio atliekø aktyvumams.

ninio atliekø aktyvumo pasiskirstymo atvejais $t_{\max,\text{het}} / t_{\max,\text{hom}}$ (bus pateikta kitame šios serijos straipsnyje).

Skaieavimams buvo panaudotos kompiuterinës programos – DUST [3] ir GWSCREEN [4].

Naudojant DUST programà, buvo ávertintas radionuklidø perneøimas atliekø ir aeracijos zonose. Ðioje programoje baigtiniø skirtumø metodu yra sprendþiama vienmatë radionuklidø perneøimo lygtis, apdraðanti difuzijos-advekcijos procesus bei ávertinant radionuklidø vëlinimà ir radioaktyvøjá skilimà.

Naudojant GWSCREEN programà, kurioje pusiau analitiniu bûdu yra sprendþiama dviimatë advekcinio perneøimo lygtis, buvo vertinama radionuklidø sklaida vandeningu horizontu.

Vienoda skaieavimø seka buvo taikoma visiems atliekø aktyvumo pasiskirstymo atvejams – ir homogeniniams, ir heterogeniniams.

4. SKAIÈIAVIMØ REZULTATAI

Radionuklidø, reprezentuojanèiø charakteringas grupes, tûriniø aktyvumø kaita bûdingose analizuojamos sistemos vietose, kai atliekos rûsyje yra homogeniøkai pasiskirsèiusios, parodyta 6–8 paveiksluose.

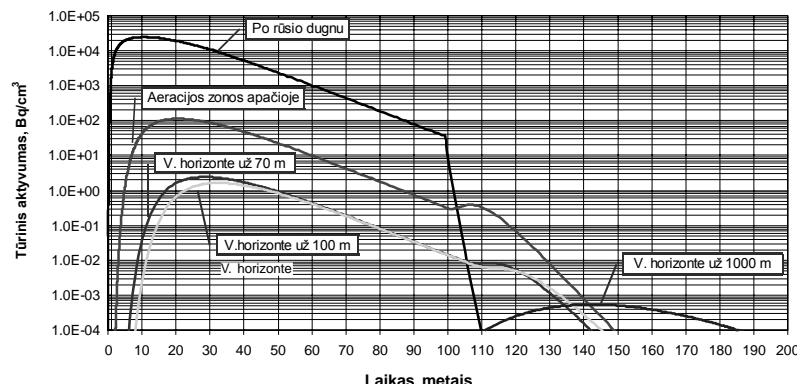
Trumpaamþio mobilaus 3H radionuklido atveju stebimos didelës tûriniø aktyvumo reikðmës po rûsio dugnu. Tolstant nuo rûsio, tûrinis aktyvumas maþeja (6 pav.). Praëjus 100 metø nuo atliekø patalpinimo kapiyne, po rûsio dugnu stebimas gero kas radionuklido tûriniø aktyvumo sumaþejimas, kurá lemia priimtas stai gus rûsio inþineriniø barjerø suirimës. Maksimalios tûriniø aktyvumo reikðmës vandeningame horizonte yra 3–4 eilëmis maþesnës, nei po rûsio dugnu, ir uþ 2000 m pasiekia nereikðmingà dydá (grafike nebevaizduoja ma). Tai yra atskiedimo didesniu vandens srautu vandeningame horizonte, taip pat dispersijos ir radioaktyvaus sklimo pasekmë.

Visai kitaip sklinda ilgaamþis mobilus ^{129}I radionuklididas. Kaip matyti 7 paveikslė, ^{129}I sklaida aeracijos zona, iki jis pasiekia artimiausià stebëtâ vietà vandeningame horizonte, uþtrunka kelis ðimtus metø, nors jo pasiskirstymo koeficientas K_d téra lygus 1. Pastebësime, kad laiko skalës 6 ir 7 paveiksluose skiriiasi eile. Kaip ir 3H atveju, ^{129}I radionuklido aktyvumo reikðmës vandeningame horizonte

te yra daug maþesnës nei aeracijos zonoje dël atskiedimo. Didþiausias tûrinis ðio nuklido aktyvumas vandeningame horizonte, 100 m atstume nuo rûsio, yra apie 5 kartus didesnis, nei 2000 m atstume. Aktyvumo sumaþejimo prieþastimi, ðiuo atveju, yra tik dispersija, nes ilgaamþiui ^{129}I radioaktyvusis skilimas nagrinëjamu laikotarpiu didelës áatakos neturi.

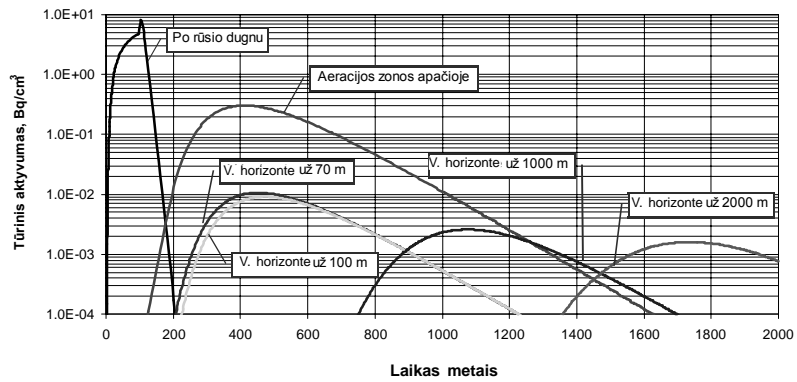
Ilgaamþio maþai mobilaus ($K_d = 550$) ^{239}Pu radionuklido sklaida (8 pav.) yra panaðaus pobûdþio, kaip ir ^{129}I , taèiau dël didelio vëlinimo (^{239}Pu labiau sorbuojamas nei ^{129}I), ^{239}Pu maksimalios tûriniø aktyvumø

3H



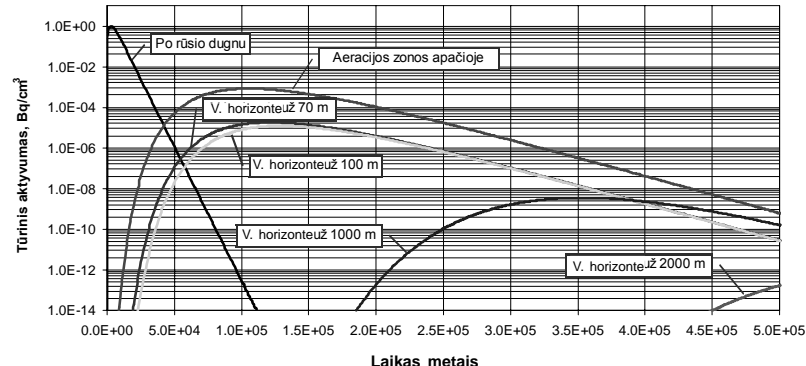
6 pav. 3H radionuklido tûriniø aktyvumo kaita bûdingose laidojimo sistemos vietose homogeniøkai pasiskirsèiusio atliekø aktyvumo atveju

^{129}I



7 pav. ^{129}I radionuklido tûriniø aktyvumo kaita bûdingose laidojimo sistemos vietose homogeniøkai pasiskirsèiusio atliekø aktyvumo atveju

^{239}Pu



8 pav. ^{239}Pu radionuklido tûriniø aktyvumo kaita bûdingose laidojimo sistemos vietose homogeniøkai pasiskirsèiusio atliekø aktyvumo atveju

vumo reikðmës po rûsio dugnu ir aeracijos zonas apaëijoje yra pasiekiamos po tûkstanèiø, o vandenin-game horizonte – po ðimtø tûkstanèiø metø. Jos yra neberekðmingo dydþio.

5. IŠVADOS

Apibendrinus skaièiavimø rezultatus, galima teigti, kad homogeninio atliekø aktyvumo pasiskirstymo kapiny-no rûsyje atveju tûrinis aktyvumas bûdingose laidojimo sistemos vietose priklauso nuo radionuklido sa-vybiø.

Priimtas inþineriniø rûsio barjerø degradavimas po 100 metø praktiðkai neturi jokios átokos labai mobilaus ($K_d = 0$) 3H radionuklido sklaidai, kadangi 3H ið rûsio iðsiskiria daug anksèiau, nei suyra barjerai.

Ta pati išvada galioja ir labai maþai judriems radionuklidams ($K_d \sim 500$) ^{239}Pu ir ^{226}Ra , nes jø sklaida inþineriniai barjerais vyksta lëtai, o po rûsio dugnu esanèià aplinkà die ilgaampiai radionuklidai pasiekia, praëjus daugiau nei 1000 metø po barjerø suirimo.

Tik judriø ilgaamþio ^{129}I ir ^{14}C radionuklidø aktyvumas po rûsio dugnu pasiekia savo maksimalias reikðmes maþdaug tuo paèiu metu, kaip ir degraduoja rûsio inþineriniai barjerai. Pastarøjø radionuklidø tûriniai aktyvumai vandeningame horizonte iðlieka maþai pakite ávairiuose atstumuose nuo rûsio, kadangi jø puséjimo trukmës pakankamai didelës ($^{129}I - 1,59 \times 10^7$ metø, $^{14}C - 5\ 730$ metø) ir aktyvumas kinta tik dël skiedimosi ir dispersijos vandeningame horizonte.

Gauta 2005 11 15

Literatûra

- IAEA. Safety Assessment Methodologies for Near Surface Disposal Facilities. Results of a co-ordinated research project. Vol. 1: Review and enhancement of safety assessment approaches and tools. IAEA, Vienna, 2004.
- IAEA. Safety Assessment Methodologies for Near Surface Disposal Facilities. Results of a co-ordinated research project. Vol. 2: Test cases. IAEA, Vienna, 2004.
- Sullivan T. M. Disposal Unit Source Term (DUST). Data Input Guide. US Nuclear Regulatory Commission Report NUREG/CR-6041, Brookhaven National Laboratory Report BNL-NUREG-52375. Brookhaven National Laboratory, Upton, New York 11973, 1993.
- Rood A. S. GWSCREEN: A semi-analytical model for assessment of groundwater pathway from surface or buried contamination. Theory and user's manual, Version 2.0. EGG-GEO-10797, Revision 2. Idaho National Engineering Laboratory, 1994.

Raimondas Kilda, Povilas Poškas, Valdas Ragaišis

ANALYSIS OF THE IMPACT OF HETEROGENEITIES IN SOURCE DISTRIBUTION ON RADIONUCLIDE RELEASES FROM NEAR SURFACE REPOSITORY INTO GROUNDWATER

1. METHODOLOGY OF THE ANALYSIS AND THE RESULTS FOR THE CASE OF HOMOGENEOUS DISTRIBUTION OF WASTES

Summary

The safety assessment of near-surface repository usually assumes a homogeneous distribution of activity within the *vaults* of the repository. However, in some cases there is radioactive waste, e. g., disused sealed sources, which should result in the so-called "hot spots" when disposed off with other radioactive waste. An uneven distribution of waste activity is obtained in this case.

The impact of heterogeneities in source distribution on radionuclide releases from near-surface repository into groundwater is analysed. The conditions of the application of a homogeneous distribution of radioactive waste are revealed. The assessment has been performed using the ISAM methodology recommended by IAEA (International Atomic Energy Agency) for the safety analysis of a near-surface repository.

A brief description of the repository system of radioactive waste, the scenarios for the radionuclide migration and the developed conceptual models are presented. The calculations have been carried out using the DUST and GWSCREEN computer codes designed for simulation of radionuclide transport. In the first part of a series of articles, the description of the ISAM methodology and its application for the analysis of heterogeneity are presented. The modelling results for the case of homogeneous distribution of radioactive waste in the repository are considered.

Key words: near surface repository, radioactive waste, homogeneous distribution, heterogeneous distribution, ISAM methodology, radionuclide migration

Ðæéì Í í áæñ Èèëää, Í í áëëëäñ Í í øéäñ, Áæëääñ Ðæåæéøèñ

Á ÆÉÈÇ ÁÆÈBÍ ÈB ÁÅØÅÐÍ ÁÁÍ Í Í ÑØÈ
ÐAÄÈT ÁÆØÈÁÍ ÕÓ Í ÕOÔÍ ÁÍ Á Í A
Í ÈÄÐAOÈP ÐAÄÈT Í ØEEÈÁÍ Á ÈÇ
Í ÐÈTÍ Í ÅÄÐÖÍ Í ÑOÍ Í ÁÍ Í Í ÁÆÈÜÍ ÈÈÁ Á
Í ÁÇÁI Í ÚÁ ÁÍ ÁÚ
1. Í ÁÔÍ ÁÍ ÈT ÁÆB Í ÖÁÍ ÈÈ È ÐÄÇÓÆÙØÀÖÙ
Á ÑØ×ÁÁ ÁÍ Í Í ÁÁÍ Í Í ÁÍ ÐÀÑÍ ÐÅÄÄÆÁÍ ÈB
Í ÕOÔÍ ÁÍ Á

Ð á ç þ ì á

Í ðè áí áëëçá ááçí í áñí í ñòë ðæåæí áæøëáí úð í ðòðí áí á
í áú÷í í í ðæäí í èååàåðñý, ÷òí èõ áèòëáí í ñòü á
í í áëëüí èëá ðæñí ðæåæáí à ðæåí í í áðí í. Í áí áëí
í áðåæéí áñòðà+àþòñý è òàëëá ðæåæí áèòëáí úá
í ðòðí áú, èàë, í áí ðèí áð, èñí í èüçí áàí í úá çàëðùòùá

Þeñòi ÷í èêè ðàäèí èçëö+áí èÿ, éí òí ðûá í ðè çàõi ðí í áí èè n äðóâèl è 1 òõi äàì è 1 ðí æäàþò ðàê í àçûâàì ûá „äi ðý÷èá òi ÷êè“, ò. á. 1 òõi äú ýâëýþþöñy ãàðàðí ãáí í ûí è.

Ðàññi í ððáí í áéèýí èá ãàðàðí ãáí í ãí ðàññi ðàäææáí èý ðàäæí àéðèáí ûó 1 òõi äââí á à í èäðàöèþ ðàäæí í óéèéâí â èç í ðèi í åâððí 1 ñòí í åí í 1 åèëüí èéâ á í 1 åçâí í ûá ââ ëù è ûýâéâí í, í ðè èâéèö öñéí åèýö í 1 æí 1 1 èðàðüñy í à äí í óùáí èá í åí í 1 åâí 1 1 ðàññi ðàäææáí èè àéðèâí 1 ñòè 1 òõi äââí. Áí àéèç 1 ñòùâñòâæáí n èñi í èüçí åâí èâí í àòí åí èí åèè ISAM (ÈÑÄÍ), éí òí ðóþ í AÅÄÖÝ (í áæäóí àðí åí åý åââí ðóðà àòí í 1 é ýí åðâèè) ðâéí í áí åóâò í ðè áí åèèçá åâçí í àñí 1 ñòè í ðèi í åâððí 1 ñòí ûó í 1 åèëüí èéâí â.

Êðàðéí í í èñàí à ñèñðâí à çâõi ðí í áí èý ðàäæí àéðèâí ûó 1 òõi äââí, í ðâäñðâææáí û ñõâí àðèè í èäðàöèè ðàäæí í óéèéâí â, à òâéæâ ðàçðââí ðââí í ûá êí í õäí ðóâæüí ûá í 1 åâæè. Ðàñ+, ðû í ðí èçâí åèëèñü n í 1 í 1 ùþþ í üþðâðí ûó í ðí ðââí à ðust è GWSCREEN, í ðââí àçí à+âí 1 ûó äey í 1 åâæèðí åââí èý í åðâí 1 ñà ðâææí í óéèéâí â. Á í åñòñ ÿùâé ñòâðüâ åââðñy èðâðéâí á 1 í èñàí èââ í àòí åí èí åèè ISAM è á, í ðèi áí åí èý è áí àéèçó åâðâðí åââí 1 ñòè 1 ðôðí åí â. Ðâéæâ í ðèâí åýðñy ðâçóëüðâðû í 1 åâæèðí åââí èý í èäðàöèè ðâææí í óéèéâí â ñéó+ââ áí í 1 åââí 1 í åí ðàññi ðâæææáí èý àéðèâí 1 ñòè 1 ðôðí åí â í 1 åèëüí èéâ.

Êþ-åâûâ ñeñââ: í ðèi í åâððí 1 ñòí ûé í 1 åèëüí èéâ, ðâææí àéðèâí ûá 1 òõi äú, äí í 1 åââí 1 í á è åâðâðí åââí 1 í ðàññi ðâæææáí èá, í àòí åí èí åèý ISAM, í èäðàöèý ðâææí í óéèéâí â